

Особенности распространения звука при симметрично–обусловленных изоструктурных фазовых переходах в сегнетоэластиках

© Ю.М. Гуфан, Е.С. Ларин, А.Н. Садков

Научно-исследовательский институт физики Ростовского государственного университета,
344090 Ростов–на–Дону, Россия

E-mail: gufan@gufan.rnd.runnet.ru

(Поступила в Редакцию 2 апреля 1999 г.)

В окончательной редакции 16 июля 1999 г.)

На примере собственно сегнетоэластического перехода типа растяжение–сжатие показано, что если параметр порядка, описывающий переход, допускает существование в потенциале Ландау инварианта третьей степени, то вблизи линий структурных переходов должны проходить и линии симметрично обусловленных изоструктурных фазовых переходов. При этом изоструктурные переходы могут проявляться как непосредственно, так и через специфические закритические аномалии в поведении упругих модулей и параметров решетки. Обнаружить и описать эти эффекты позволил принятый в работе выход за рамки теории возмущений, обычно применяемой в теории переходов второго рода. На основе проведенного рассмотрения высказана гипотеза, что аномалии в зависимости скорости звука в ортоклазе и санидине обусловлены закритическим поведением параметров решетки вблизи симметрично обусловленного изоструктурного перехода в прафазе этих кристаллов.

Работа выполнена при поддержке РФФИ.

Известно большое число веществ, в которых изменение внешних условий, задающих состояние кристалла, вызывает уменьшение упругих модулей второго порядка, приводящее к деформационной нестабильности кристаллической решетки. По аналогии с ферромагнитными и сегнетоэлектрическими фазовыми переходами (ФП) переходы, при которых изменения кристаллической решетки сводятся к возникновению спонтанной деформации, были выделены в отдельный класс ферроэластических (сегнетоэластических) фазовых переходов [1]. Параметры порядка (ПП), описывающие собственно сегнетоэластические фазовые переходы (ССЭФП) пропорциональны линейным комбинациям компонент тензора деформации. Далее будут рассматриваться только ССЭФП. Такие ФП определяют изменение кристаллической решетки в семействе сверхпроводников со структурой β -вольфрама: Nb_3Sn , Nb_3Sb , V_3Si [2,3] ($O_h^4 - D_{4h}^9$), в семействе твердых растворов шпинелей $M_{1-x}Ni_xCr_2O_4$ ($M = Cu, Fe$) [4,5] ($O_h^1 - D_{4h}^1 - D_{2h}^{24}$), в Ni–Mn сплавах [6], а также в ряде минералов (см., например, обзор [7]). Весь набор фаз на $T - x$ фазовой диаграмме твердых растворов $Nb_3Sn_xSb_{1-x}$ и $M_{1-x}Ni_xCr_2O_4$ с точки зрения феноменологической симметрии описывается одним и тем же двухкомпонентным ПП $\eta = (\eta_1, \eta_2)$, компоненты которого η_1, η_2 образуют базис для двумерного неприводимого представления E_g кубической группы симметрии кристаллического класса O_h [8] высокосимметричной фазы. Делая несущественную для дальнейшего замену знака пропорциональности на знак равенства, можно записать определение

$$\eta_1 = (2u_{zz} - u_{xx} - u_{yy})/\sqrt{6}, \quad \eta_2 = (u_{xx} - u_{yy})/\sqrt{2}, \quad (1)$$

где u_{xx}, u_{yy}, u_{zz} — диагональные компоненты тензора деформации u_{ik} . Концепция кубической прафазы [9–11] по-

зволяет описать с помощью того же ПП переход между тетрагональной и орторомбической фазами в TeO_2 [12] и в твердых растворах $YBa_2Cu_3O_{7-y}$ [9,10]. Естественно, что поведение физических величин и особенности фазовых диаграмм (ФД), описываемых этим ПП, неоднократно исследовались ранее (см., например, [3,8–10,13]. При этом подчеркивалось, что для правильного описания особенностей физических характеристик сегнетоэластиков необходимо учитывать как минимум члены шестой степени в потенциале Ландау [8,13,14]. Однако применяемые в работах [8,13,14] методы исследования потенциалов Ландау, а в ряде случаев и упрощения модели, принятые в модельных потенциалах [7,10], не позволили выявить ряд интересных особенностей свойств сегнетоэластиков, обусловленных симметрией.

Цель нашей работы — показать, что на ФД веществ и твердых растворов кубических сегнетоэластиков наряду с линиями ФП между фазами разной симметрии должны проявляться и линии изоструктурных ФП (ИФП) — переходов между фазами с одинаковой симметрией и структурой. Существенно, что ИФП в сегнетоэластиках симметрично обусловлены [10]. Кроме того, далее будет показано, что даже при отсутствии на реальной ФД линии ИФП в низкосимметричной (тетрагональной) фазе должны наблюдаться аномалии физических величин, связанные с ”закритическими” явлениями.

1. Термодинамический потенциал Ландау и фазовая диаграмма

В кубическом кристалле изменение симметрии при ССЭФП типа сжатие–растяжение описывается двухкомпонентным ПП $\eta = (\eta_1, \eta_2)$ (1). В этом случае потенци-

ал Ландау как функция η зависит от двух инвариантов

$$I_1 = \eta_1^2 + \eta_2^2, \quad I_2 = \eta_1^3 - 3\eta_1\eta_2^2. \quad (2)$$

Минимальная структурно-устойчивая модель потенциала $F = F(I_1, I_2)$ [15,16] имеет вид

$$F(I) = a_1 I_1 + a_2 I_1^2 + a_3 I_1^3 + b_1 I_2 + b_2 I_2^2 + \gamma_{12} I_1 I_2, \quad (3)$$

где a_1, a_2, b_1 — варьируемые (зависящие от внешних условий) параметры. Отметим, что именно такая модель исследовалась в [3,8,12–14].

Из уравнений состояния

$$\partial\Phi/\partial\eta_1 = 2\eta_1\Phi_1 + 3(\eta_1^2 - \eta_2^2)\Phi_2 = 0$$

$$\partial\Phi/\partial\eta_2 = 2\eta_2(\Phi_1 - 3\eta_1\Phi_2) = 0, \quad (4)$$

где Φ — неравновесный потенциал (3) в переменных η_1 и η_2 , $\Phi_i = \partial F/\partial I_i$, $i = 1, 2$, видно, что таким ПП можно описать четыре фазы, симметрия которых определяется условиями

$$0: \quad \eta_1 = \eta_2 = 0, \quad (5)$$

$$I^\pm: \quad \eta_1 \neq 0, \quad \eta_2 = 0, \quad 2\Phi_1 + 3\eta_1\Phi_2 = 0, \quad (6)$$

$$II: \quad \eta_1 \neq 0, \quad \eta_2 \neq 0, \quad \Phi_1 = 0, \quad \Phi_2 = 0. \quad (7)$$

Фазы I^\pm (6) имеют одинаковую тетрагональную симметрию. Однако при $\eta_1 > 0, \eta_2 = 0$, в фазе I^+ $u_{zz}^T > u_{xx}^T = u_{yy}^T$, т.е. элементарная ячейка вытянута ($c/a > 1$). При $\eta_1 < 0$, наоборот, $u_{zz}^T < u_{xx}^T = u_{yy}^T$, т.е. элементарная ячейка сжата ($c/a < 1$). Фазы I^\pm антизоструктурные [15].

Рассмотрим уравнение состояния фаз I^\pm

$$2a_1 + 3b_1\eta_1 + 4a_2\eta_1^2 + 5\gamma_{12}\eta_1^3 + 6(a_3 + b_2)\eta_1^4 = 0. \quad (8)$$

В общем случае уравнение (8) допускает четыре решения, отвечающих критическим (экстремальным) точкам неравновесного потенциала $F(I_1, I_2)$ (3). Области существования четырех решений (8) определяются условием

$$\begin{aligned} \partial^2\Phi/\partial\eta_1^2 = 2a_1 + 6b_1\eta_1 + 12a_2\eta_1^2 + 20\gamma_{12}\eta_1^3 \\ + 30(a_3 + b_2)\eta_1^4 = 0. \end{aligned} \quad (9)$$

Вместе с уравнением (8) условие (9) определяет в пространстве $R^3 = (a_1, b_1, a_2)$ области, в которых устойчивы фазы I^+ ($\eta_1 > 0$) и I^- ($\eta_1 < 0$). Рассмотрим плоское сечение $R^2 = (a_1, b_1)$ в R^3 при $a_2 = \text{const}$. При $0 < a_2 < 25\gamma_{12}^2/64(a_3 + b_2)$ линия границы устойчивости фазы I^\pm $a_1 = a_1(b_1)$ достаточно сложная. На ней существуют точки возврата Q и Q' , точка самопересечения Π (рис. 1). На рис. 1,а приведено одно из возможных сечений ФД. В области, ограниченной точками Q, Q', Π , сосуществуют два устойчивых отвечающих минимумам $F(I_1, I_2)$ решения уравнения состояния (8). Эти решения описывают фазы одинаковой симметрии: при $\gamma_{12} > 0$, I_1^- и I_2^- , $\eta_1(I_1^-) < \eta_1(I_2^-)$, при $\gamma_{12} < 0$, I_1^+ и I_2^+ ,

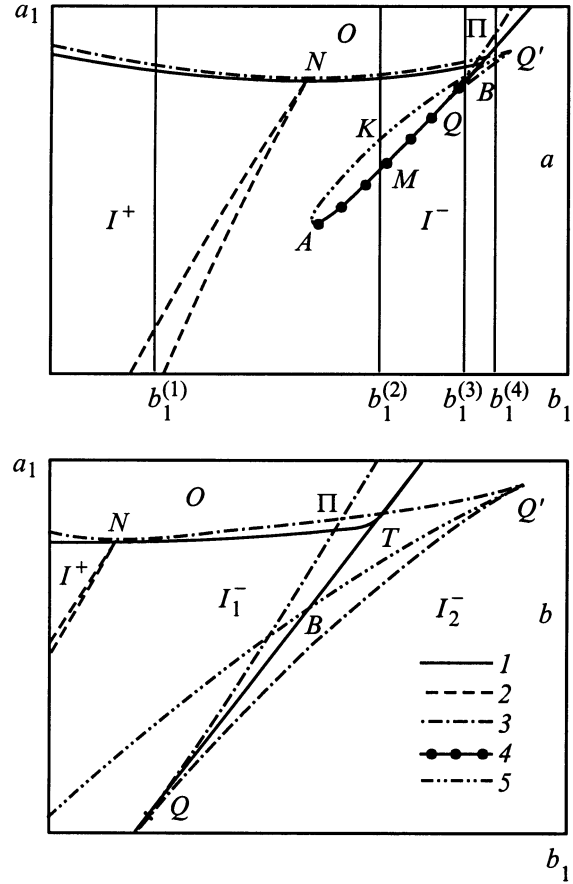


Рис. 1. Фазовая диаграмма в пространстве коэффициентов a_1 и b_1 потенциала F_{cl} (19). Введены обозначения: 1 — линия ФП первого рода, 2 — линия ФП второго рода, 3 — линия границы устойчивости фаз, 4 — линия, соответствующая \min (19), 5 — линия, соответствующая \max потенциала (19).

$\eta_1(I_1^+) < \eta_1(I_2^+)$. Именно в этой области возможен ИФП [17]. Это означает, что ПП, отвечающий за изменения симметрии, описывает и ФП без изменения симметрии (ИФП). Заметим, что ИФП является ФП первого рода. Линия ИФП с одной стороны оканчивается в критической точке Q (критическая точка типа жидкость–пар), с другой — в трехфазной точке T , переходя с общей касательной в ФП первого рода $0 - I_2^-$ ($\gamma_{12} > 0$) или $0 - I_2^+$ ($\gamma_{12} < 0$). Трехфазная точка T имеет координаты

$$\begin{aligned} a_1^T &= \frac{[\gamma_{12}^2 - 4a_2(a_3 + b_2)]^2}{4^3(a_3 + b_2)^3}, \\ b_1^T &= \frac{\gamma_{12}[\gamma_{12}^2 - 4a_2(a_3 + b_2)]}{24(a_3 + b_2)^2}, \end{aligned} \quad (10)$$

а критическая точка Q — координаты

$$\begin{aligned} a_1^Q &= 2a_2\eta_Q^2 - 5\gamma_{12}\eta_Q^3 + 9(a_3 + b_2)\eta_Q^4, \\ b_1^Q &= 8a_2\eta_Q/3 - 5\gamma_{12}\eta_Q^2 + 8(a_3 + b_2)\eta_Q^3, \end{aligned} \quad (11)$$

где

$$\eta_Q = \left\{ -5\gamma_{12} - [25\gamma_{12}^2 - 64a_2(a_3 + b_2)]^{1/2} \right\} / 24(a_3 + b_2).$$

Вдоль линии ФП первого рода $0 - I^\pm$

$$da_1/db_1 \Big|_{0-I^\pm} = -\eta_1. \quad (12)$$

Линии переходов первого рода $0 - I^-$ и $0 - I^+$ подходят к трехфазной точке T с разными наклонами (рис. 1). Касательные к этим линиям в соответствии с (12) имеют вид

$$da_1/db_1 \Big|_{0-I_2^\pm} = -\eta_1^T(I_1^-, I_2^-), \quad (13)$$

где

$$\eta_1^T(I_1^-, I_2^-) = \left\{ -\gamma_{12} \pm [3\gamma_{12}^2 - 8a_2(a_3 - b_2)]^{1/2} \right\} / 4(a_3 + b_2). \quad (14)$$

Второе условие устойчивости фаз I^\pm определяется соотношением

$$\begin{aligned} \partial^2 \Phi / \partial \eta_2^2 &= 2a_1 - 6b_1\eta_1 + 4a_2\eta_1^2 - 4\gamma_{12}\eta_1^3 \\ &+ 6a_3\eta_1^4 - 12b_2\eta_1^4 \geq 0. \end{aligned} \quad (15)$$

Линия, определяемая уравнением (8) и равенством (15), ограничивает область устойчивости фазы II в $R^2 = (a_1, b_1)$.

При $4a_2b_2 - \gamma_{12}^2 > 0$ ФП $I^+ - II$ и $I^- - II$ происходят по линии переходов второго рода. Для исследования зависимости физических параметров от внешних условий (температуры, давления, средней концентрации и т.д.) необходимо определить зависимость феноменологических параметров теории от температуры, давления концентрации, т.е. выбрать термодинамический путь (ТП). Для простоты будем считать, что только a_1 зависит от внешних условий, для определенности — только от температуры. Тогда при $a_1 = a^0(T - T_c)$ ТП — это прямая, параллельная оси Oa_1 на ФД (рис. 1).

2. Поведение физических величин вдоль термодинамического пути

На рис. 1 ФД получена без конкретизации физического смысла ПП, и все ее особенности обусловлены только симметрией ПП. Для исследования особенностей физических свойств кристаллов при ССЭФП учтем явно физический смысл компонент ПП и запишем неравновесную упругую энергию в стандартном виде [7]

$$\begin{aligned} \Phi_{el} &= \sum \alpha_i e_i + 1/2 \sum C_{ik} e_i e_k + 1/3! \sum C_{ijk} e_i e_j e_k + \dots \\ &+ 1/6! \sum C_{ijklmn} e_i e_j e_k e_l e_m e_n, \end{aligned} \quad (16)$$

где α_i — коэффициент теплового расширения, C_{ik} , C_{ikl} , ..., C_{ijklmn} — модули упругости второго, третьего и т.д. порядков вплоть до шестого, e_i ($i = 1 \dots 6$) —

компоненты тензора деформации в обозначениях Фогта: $e_1 = u_{xx}$, $e_2 = u_{yy}$, $e_3 = u_{zz}$, $e_4 = 2u_{yz}$, $e_5 = 2u_{xz}$, $e_6 = 2u_{xy}$. В (16) учтены все возможные деформации. При описании некоторых свойств фаз, обусловленных двухкомпонентным ПП, достаточно в (16) положить $e_i = 0$ ($i = 4, 5, 6$). Для обоснования физического смысла феноменологических коэффициентов потенциала Ландау необходимо в (16) перейти к симметрическим координатам (1) и

$$\eta_3 = (u_{xx} + u_{yy} + u_{zz}) / \sqrt{3}, \quad (17)$$

т.е. получаем

$$\begin{aligned} u_{xx} &= \eta_3 / \sqrt{3} - \eta_1 / \sqrt{6} + \eta_2 / \sqrt{2}, \\ u_{yy} &= \eta_3 / \sqrt{3} - \eta_1 / \sqrt{6} - \eta_2 / \sqrt{2}, \\ u_{zz} &= \eta_3 / \sqrt{3} + \eta_1 \sqrt{2} / 3. \end{aligned} \quad (18)$$

В соответствии с этим полный потенциал Ландау в координатах (1), (17) имеет вид

$$\begin{aligned} F_{el} &= AI_3 + BI_3^2 + CI_3^3 + a_1I_1 + a_2I_1^2 + a_3I_1^3 + b_1I_2 + b_2I_2^2 \\ &+ \gamma_{12}I_1I_2 + \gamma_{13}I_1I_3 + \gamma_{23}I_2I_3 + \gamma_{113}I_1^2I_3, \end{aligned} \quad (19)$$

где $I_3 = \eta_3$ из выражения (17).

Сравнивая (16) и (19), получим соотношения между коэффициентами потенциала F_{el} (19) и изотермическими модулями упругости $C_{ik}, \dots, C_{ijklmn}$

$$\begin{aligned} A &= \alpha \sqrt{3}, \\ B &= (C_{11} + 2C_{12}) / 2, \\ C &= (C_{111} + C_{123} + 3C_{112}) / 3\sqrt{3}, \end{aligned} \quad (20)$$

$$\begin{aligned} a_1 &= (C_{11} - C_{12}) / 2, \\ a_2 &= (2C_{1111} - 4C_{1112} + C_{1122}) / 16, \\ a_3 &= C_{111111} - C_{111112} + C_{111122} - C_{111222}, \\ b_1 &= (2C_{111} + 2C_{123} - 3C_{112}) / 6\sqrt{6}, \\ b_2 &= C_{111111} - C_{111112} - C_{111122} + 2C_{111222} + C_{111123} \\ &\quad - C_{111223} + C_{112233} / 3, \\ \gamma_{12} &= (5C_{111111} - 5C_{111112} + C_{111122} + 2C_{11123} - C_{11223}) / 6\sqrt{6}, \\ \gamma_{13} &= (2C_{111} - C_{123}) / 2\sqrt{3}, \\ \gamma_{23} &= (2C_{1111} - C_{1112} - C_{1122} + 2C_{1231}) / 6\sqrt{2}, \\ \gamma_{113} &= (10C_{111111} - 4C_{111112} + 2C_{11122} \\ &\quad - 2C_{11123} + C_{11223}) / 4\sqrt{3}. \end{aligned} \quad (21)$$

В дальнейшем будем полагать, что в кубической фазе $B > 0$, $C > 0$, $\alpha = 0$ во всем интервале изменения внешних параметров.

Исследование поведения физических параметров кристалла будем проводить вдоль четырех термодинамических путей (см. рис. 1), полагая везде в дальнейшем $\gamma_{12} > 0$, $a_1 = a_1^0(T - T_c)$.

- 1) $b_1^{(1)} < 0$, реализуется последовательность ФП $0 \xrightarrow{\textcircled{I}} I^+ \xrightarrow{\textcircled{II}} \Pi$,
- 2) $b^A < b_1^{(2)} < b_1^0$, последовательность ФП $0 \xrightarrow{\textcircled{I}} I_1^- \xrightarrow{\textcircled{II}} I_2^- \xrightarrow{\textcircled{III}} \Pi$,
- 3) $b_1^0 < b_1^{(3)} < b_1^T$, последовательность ФП $0 \xrightarrow{\textcircled{I}} I_1^- \xrightarrow{\textcircled{II}} I_2^- \xrightarrow{\textcircled{III}} \Pi$,
- 4) $b_1^{(4)} > b_1^T$, последовательность ФП $0 \xrightarrow{\textcircled{I}} I_2^- \xrightarrow{\textcircled{II}} \Pi$.

Цифры \textcircled{I} и \textcircled{II} означают ФП первого и второго рода соответственно. Штрихпунктиром отмечены аномалии в "закритической" области (ФП отсутствует, однако на зависимости физических величин наблюдаются аномалии). Эффективные модули упругости в каждой фазе определяются соотношениями

$$\begin{aligned} C_{11}^* &= \partial^2 \Phi / \partial u_{xx}^2 = \Phi_{11}/6 + \Phi_{22}/2 + \Phi_{33}/3 - \Phi_{12}/\sqrt{3} \\ &\quad - \Phi_{13}\sqrt{2}/3 + \Phi_{23}\sqrt{2}/3, \\ C_{22}^* &= \partial^2 \Phi / \partial u_{yy}^2 = \Phi_{11}/6 + \Phi_{22}/2 + \Phi_{33}/3 + \Phi_{12}/\sqrt{3} \\ &\quad - \Phi_{13}\sqrt{2}/3 - \Phi_{23}\sqrt{2}/3, \\ C_{33}^* &= \partial^2 \Phi / \partial u_{zz}^2 = 2\Phi_{11}/3 + 2\Phi_{13}\sqrt{2}/3 + \Phi_{33}/3, \\ C_{12}^* &= \partial^2 \Phi / \partial u_{xx} \partial u_{yy} = \Phi_{11}/6 - \Phi_{22}/2 + \Phi_{33}/3 \\ &\quad - \Phi_{13}\sqrt{2}/3, \\ C_{13}^* &= \partial^2 \Phi / \partial u_{xx} \partial u_{zz} = -\Phi_{11}/3 + \Phi_{33}/3 + \Phi_{12}/\sqrt{3} \\ &\quad + \Phi_{13}/3\sqrt{2} + \Phi_{23}/\sqrt{6}, \\ C_{23}^* &= \partial^2 \Phi / \partial u_{yy} \partial u_{zz} = -\Phi_{11}/3 + \Phi_{33}/3 - \Phi_{12}/\sqrt{3} \\ &\quad + \Phi_{13}/3\sqrt{2} - \Phi_{23}/\sqrt{6}, \end{aligned} \quad (22)$$

где $\Phi_{ij} = \partial^2 \Phi / \partial \eta_i \partial \eta_j$ и $i, j = 1, 2, 3$.

Соотношения (22) определяют для каждой из фаз зависимости C_{ik}^* от внешних параметров. Отметим, что обычно аномалии испытывают не сами упругие модели, а их симметрично обусловленные комбинации. Действительно, кристалл становится неустойчивым относительно деформаций, когда к нулю стремится одно из собственных значений матрицы упругих модулей.

В кубической фазе

$$\eta_3^0 = \eta_1^0 = \eta_2^0 = 0, \quad u_{xx}^0 = u_{yy}^0 = u_{zz}^0 = 0 \quad (23)$$

и симметрические комбинации упругих модулей имеют вид

$$\begin{aligned} \lambda_1^0 &= C_{11}^0 + 2C_{12}^0 = 2B, \\ \lambda_2^0 &= C_{11}^0 - C_{12}^0 = 2a_1 = 2a_1^0(T - T_c). \end{aligned} \quad (24)$$

В тетрагональных фазах I^+ ($\eta_1^T > 0$) и I^- ($\eta_1^T < 0$) возможны три домена

- 1) $u_{xx}^T = u_{yy}^T = -\eta_1^T/\sqrt{6} + \eta_3^T/\sqrt{3}$, $u_{zz}^T = 2\eta_1^T/\sqrt{6} + \eta_3^T/\sqrt{3}$,
- 2) $u_{yy}^T = u_{zz}^T = -\eta_1^T/\sqrt{6} + \eta_3^T/\sqrt{3}$, $u_{xx}^T = 2\eta_1^T/\sqrt{6} + \eta_3^T/\sqrt{3}$,
- 3) $u_{xx}^T = u_{zz}^T = -\eta_1^T/\sqrt{6} + \eta_3^T/\sqrt{3}$, $u_{yy}^T = 2\eta_1^T/\sqrt{6} + \eta_3^T/\sqrt{3}$,

(25)

где η_3^T определяется из уравнения $\partial F / \partial \eta_3 = 0$ при $\eta_2^T = 0$

$$\begin{aligned} \eta_3^T &= \left[-\gamma_{13}(\eta_1^2 + \eta_2^2) - \gamma_{23}(\eta_1^3 - 3\eta_1\eta_2^2) \right. \\ &\quad \left. - \gamma_{113}(\eta_1^2 + \eta_2^2)^2 \right] / 2B. \end{aligned} \quad (26)$$

Относительное изменение объема в фазах I^\pm определяется равновесным значением η_3^T

$$\begin{aligned} \Delta V_T / V_0 \approx \eta_3^T &= -(\eta_1^T)^2 [\gamma_{13} - \gamma_{23}\eta_1^T \\ &\quad + \gamma_{113}(\eta_1^T)^2] / (C_{11} + 2C_{12}), \end{aligned} \quad (27)$$

где η_1^T — равновесные значения ПП в фазах I^\pm , определяемые из уравнения состояния

$$\begin{aligned} 2a_1 + 3b_1\eta_1^T + 4a_2^*(\eta_1^T)^2 + 5\gamma_{12}^*(\eta_1^T)^3 \\ + 6(a_3^* + b_2^*)(\eta_1^T)^4 = 0, \end{aligned} \quad (28)$$

где

$$\begin{aligned} a_2^* &= a_2 - \gamma_{13}^2/4B, & \gamma_{12}^* &= \gamma_{12} - \gamma_{13}\gamma_{23}/2B, \\ b_2^* &= b_2 - \gamma_{23}^2/4B, & a_3^* &= a_3 - \gamma_{13}\gamma_{113}/2B. \end{aligned}$$

Уравнение (28) с точностью до перенормированных коэффициентов a_2^* , b_2^* , a_3^* , γ_{12}^* совпадает с уравнением состояния (8).

Собственные значения λ_i^T имеют вид

$$\lambda_1^T = C_{11}^T - C_{12}^T = \partial^2 \Phi / \partial \eta_2^2, \quad (29)$$

$$\begin{aligned} \lambda_{2,3}^T &= \left\{ (C_{11}^T + C_{12}^T + C_{33}^T) \pm [(C_{11}^T + C_{12}^T - C_{33}^T)^2 \right. \\ &\quad \left. + 8C_{13}^2]^{1/2} \right\} / 2 = \left\{ (\partial^2 \Phi / \partial \eta_3^2 + \partial^2 \Phi / \partial \eta_1^2) \right. \\ &\quad \left. \pm [(\partial^2 \Phi / \partial \eta_3^2 + \partial^2 \Phi / \partial \eta_1^2)^2 - 4\Delta]^{1/2} \right\} / 2, \end{aligned} \quad (30)$$

где $\Delta = (\partial^2 \Phi / \partial \eta_3^2)(\partial^2 \Phi / \partial \eta_1^2) - (\partial^2 \Phi / \partial \eta_3 \partial \eta_1)^2$ и C_{ik}^T — упругие модули в фазах I^\pm . Как следует из (29), условие $\lambda_1 = 0$ определяет на ФД линии устойчивости орторомбической фазы. Условие $\Delta = 0$ определяет как линию устойчивости фаз I^\pm , так и область сосуществования изоструктурных фаз I_1^- и I_2^- .

При изменении внешних параметров вдоль ТП $a_1 = a_0(T - T_c)$, $b_1^{(1)} < 0$, $0 < b_1^{(1')} < b_1^A$ (рис. 1) уравнение состояния (28) имеет только одно решение, отвечающее устойчивому состоянию фаз I^+ ($b_1 < 0$) или I^- ($b_1 > 0$). Это решение можно представить в виде $\eta_1^T = \eta_0^T(T) + \eta^T$, где только

$$\eta_0^T(T) = [-3b_1 \pm (9b_1^2 - 32a_1a_2^*)^{1/2}] / 8a_2^* \quad (31)$$

зависит от внешних условий, а η^T определяется слагасмыми более высокой степени и не зависит от внешних условий. Поэтому все качественные особенности аномального поведения физических параметров кристалла определяются температурной зависимостью η_0^T

$$\eta_0^T(T) = 3\eta_0^T|_{T_{pt}} \left\{ 1 + [(T_c^* - T)/(T_c^* - T_c)]^{1/2} \right\} / 4, \quad (32)$$

$$\begin{aligned} T_{pt} &= T_c + b_1^2/4a_2^*a_0, & T_c^* &= T_c + 9b_1^2/32a_2^*a_0, \\ \eta_0^T|_{T_{pt}} &= -b_1/2a_2^*, & \eta_0^T|_{T_c^*} &= -3b_1/8a_2^*, \end{aligned} \quad (33)$$

где T — температура ФП $0 - I^\pm$, T_c^* — температура потери устойчивости фаз I^\pm , при которой $\Delta = 0$ (30)

$$\begin{aligned} \Delta &= 2B(3b_1 + 8a_2^*\eta_0^T)\eta_0^T \\ &= 2B(3b_1/8a_2^*)^2 \left\{ [(T_c^* - T)/(T_c^* - T_c)]^{1/2} + (T_c^* - T)/(T_c^* - T_c) \right\}. \end{aligned} \quad (34)$$

Симметрично-адаптированные комбинации упругих модулей имеют вид

$$\begin{aligned} \lambda_1^T &= C_{11}^T - C_{12}^T = -9b_1\eta_0^T \\ &= -27b_1\eta_0^T|_T \left\{ 1 + [(T_c^* - T)/(T_c^* - T_c)]^{1/2} \right\} / 4, \\ (C_{11}^T - C_{12}^T)|_T &= -9b_1^2/2a_2, \\ (C_{11}^T - C_{12}^T)|_{T_c^*} &= 27b_1^2/8a_2. \end{aligned} \quad (35)$$

Из (35) следует, что в T_c^* — точке потери устойчивости фаз I^\pm — симметрическая комбинация $C_{11}^T - C_{12}^T$ испытывает скачок

$$(C_{11}^T - C_{12}^T)|_{T_c^*} - (C_{11}^0 - C_{12}^0)|_{T_c^*} = 45b_1^2/16a_2.$$

Зависимость двух других собственных значений, λ_2 и λ_3 , в окрестности ФП при $\Delta \rightarrow 0$ имеет вид

$$\begin{aligned} \lambda_2^T &= 2C_{11}^0 + C_{12}^0 - \Delta/[2(2C_{11} + C_{12})], \\ \lambda_3^T &= \Delta/[2(2C_{11} + C_{12})]. \end{aligned} \quad (36)$$

Из (36) следует, что одно из собственных значений имеет вид

$$\begin{aligned} \lambda_3^T &= [9(C_{11}^0 + 2C_{12}^0)/64(2C_{11}^0 + C_{12}^0)] (\eta_0^T|_{T_{пер}})^2 \\ &\times \left\{ [(T_c^* - T)/(T_c^* - T_c)]^{1/2} + (T_c^* - T)/(T_c^* - T_c) \right\}. \end{aligned} \quad (37)$$

Из (37) получаем, что при $T \rightarrow T_c^*$

$$\lambda_3 \sim (T_c^* - T)^{1/2}, \quad (38)$$

а в точке перехода T_{pt} , поскольку $(T_c^* - T_{pt})/(T_c^* - T_c) = 1/9$,

$$\lambda_3 = [(C_{11}^0 + 2C_{12}^0)/16(2C_{11}^0 + C_{12}^0)] (\eta_0^T|_T)^2. \quad (39)$$

В [7] подробно проведено рассмотрение "симметрично-адаптированной" комбинации

$$\bar{C}_{11}^T - \bar{C}_{12}^T = (C_{11}^T + C_{12}^T + 2C_{33}^T - 4C_{13}^T)/3 = \partial^2\Phi/\partial\eta_1^2, \quad (40)$$

где черта над модулем в тетрагональной фазе соответствует обозначениям [7]. В тетрагональной фазе

$$\begin{aligned} \partial^2\Phi/\partial\eta_1^2|_{T_c^*} &= \eta_0^T(3b_1 + 8a_2\eta_0^T)|_{T_c^*} \\ &= 4\eta_0^T|_T(1 - a_2/a_2^*). \end{aligned} \quad (41)$$

Это означает, что при $\gamma_{13} \neq 0$ $\bar{C}_{11}^T - \bar{C}_{12}^T$, смягчаясь, не достигает нуля при T_c^* .

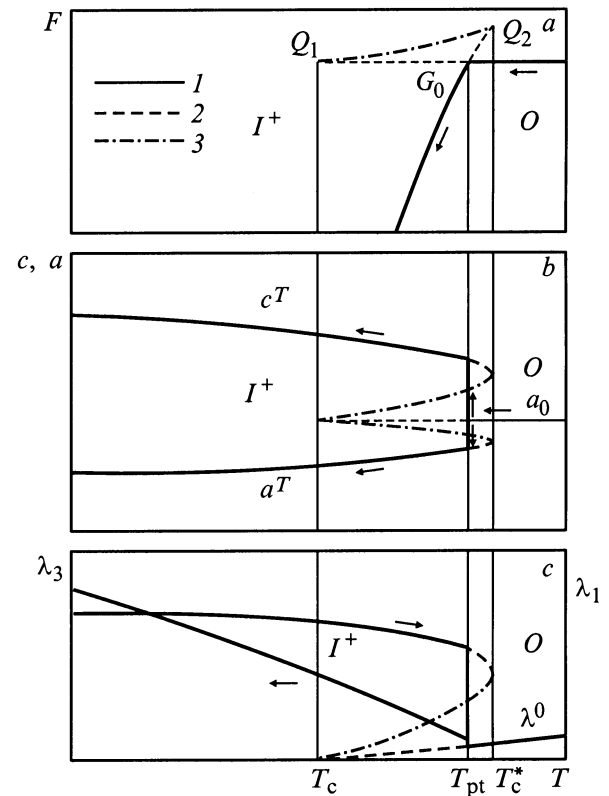


Рис. 2. Температурные зависимости равновесных значений потенциала F (19) (а), параметров решетки a и c (b), комбинаций упругих модулей λ_1 и λ_3 (c) для ТП $b_1^{(1)} < 0$. Введены обозначения: 1 — линии, представляющие равновесные значения свободной энергии стабильных фаз, 2 — линии, соответствующие равновесным значениям свободной энергии метастабильных фаз, 3 — линии, соответствующие значениям $F(T)$ на максимумах неравновесного потенциала (19).

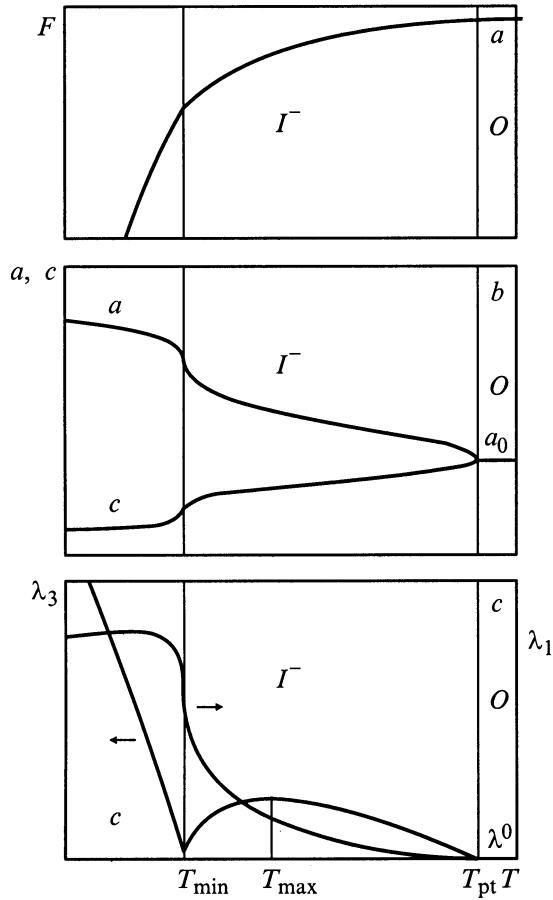


Рис. 3. Температурные зависимости тех же физических величин, что и на рис. 2, но для ТП $0 < b_1^{(2)} < b_1^A$.

На рис. 2 приведены виды зависимостей равновесных значений $F(T)$ (19), $u_{xx} = u_{yy}(T)$, $u_{zz}(T)$, $\lambda_1(T)$, $\lambda_3(T)$ вдоль ТП $b_1^{(1)} < 0$. Для фаз 0, I при $0 < b_1^{(1')} < b_1^A$ результаты аналогичны приведенным выше. На рис. 2, a точка G_0 соответствует пересечению двух ветвей единой линии зависимости равновесных значений свободной энергии от T . Сплошные участки этих ветвей соответствуют равновесным стабильным значениям свободной энергии фаз 0 и I^+ от температуры. Точка G_0 определяет равновесное значение температуры фазового перехода между фазами 0 и I^+ . Линии Q_1G_0 и Q_2G_0 соответствуют метастабильным значениям равновесной энергии фаз 0 и I^+ . Концевые точки этих линий Q_1 и Q_2 (точки возврата на линии $\Phi_{\text{eq}}(T)$) определяют максимальную ширину температурного гистерезиса перехода между фазами 0 и I^+ . На рис. 2, b приведены температурные зависимости параметров решетки a_0 , $a^T = a_0(1 + u_{xx}^T)$, причем $u_{xx}^T = u_{yy}^T$ и $c^T = c_0(1 + u_{zz}^T)$, а на рис. 2, c — симметрично адаптированные линейные комбинации упругих модулей $\lambda^0(T)$, $\lambda_1^T(T)$ и $\lambda_3^T(T)$. Из рис. 2, b и c видно, что в соответствии с общим рассмотрением при температуре перехода первого рода между фазами 0 и I^+ все

зависимости физических характеристик от температуры претерпевают скачок.

Зависимость физических характеристик от температуры в фазе I^+ является монотонной, если термодинамический путь проходит вдали от точки Q (рис. 1). Однако такая монотонность нарушается, если термодинамический путь проходит по достаточно близкой окрестности критической точки Q . На рис. 3 приведены зависимости физических величин от температуры вдоль ТП при $b_1^A < b_1^{(2)} < b_1^Q$. Вдоль такого ТП наблюдается "закритическое" поведение как параметров решетки, так и упругих модулей. Оно отражается в существенно немонотонной зависимости физических характеристик от температуры. На ФД (рис. 1) приведена кривая $L(QABQ')$, определяющая условия появления экстремальных точек на зависимости $\lambda_3^T(T)$. Ордината экстремальных точек определяется пересечением термодинамического пути с линией L . На рис. 1 это точки K (соответствует максимуму) и M (соответствует минимуму $\lambda_3(T)$). Точки K и M задают значения T_{max} и T_{min} (рис. 3, b). При $T = T_{\text{min}}$ (рис. 3, b) параметры решетки также проявляют немонотонное изменение: максимум $a(T)$ и минимум $c(T)$. В фазе I^- ($c/a < 1$) "смягчение" λ_3 при $T = T_{\text{min}}$, наоборот, соответствует максимуму $\lambda_1(T) = C_{11}^T - C_{12}^T$

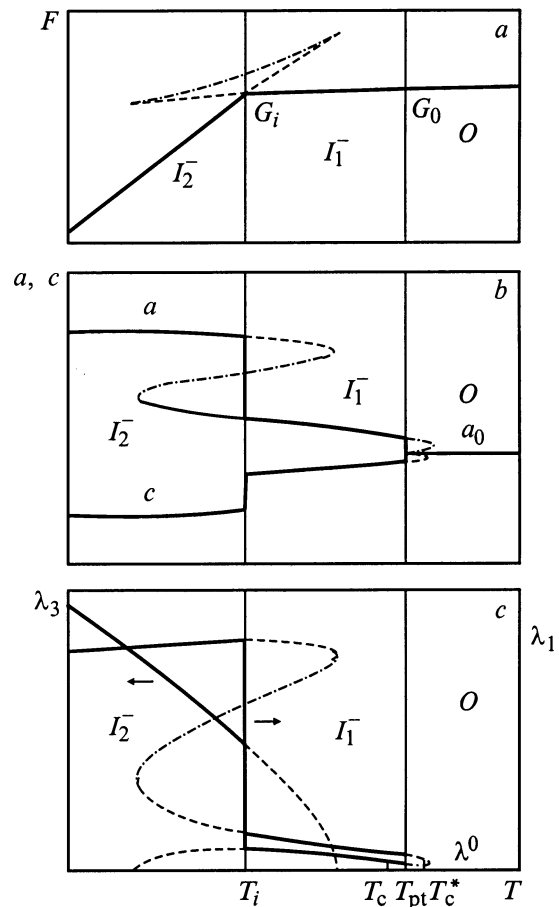


Рис. 4. Температурные зависимости тех же физических величин, что и на рис. 2, но для ТП $b_1^Q < b_1 < b_1^T$.

(рис. 3, *c*). При приближении ТП к $b_1 = b_1^Q$ аномалии усиливаются, а при $b_1 = b_1^Q$ и $T = T_Q = a_1^Q/a_0^0 + T_C \lambda_3$ обращаются в нуль, причем в окрестности T_Q ($T \rightarrow T_Q$)

$$\lambda_3 \sim |T - T_Q|^{2/3}. \quad (42)$$

Для ТП, лежащих в интервале $b_1^Q < b_1^{(3)} < b_1^T$ (рис. 1), происходит ИФП вдоль линии QT . На рис. 4, *a* абсцисса точки G_i определяет температуру T_i ИФП. ИФП является ФП первого рода, причем скачок ПП вдоль линии ИФП растет от нуля при $b = b_1^Q$ до максимального значения в трехфазной точке T

$$\Delta \eta_1^T|_T = \left[3\gamma_{12}^{*2} - 8a_2(a_3^* + b_2^*) \right]^{1/2} / 4(a_3 + b_2). \quad (43)$$

При удалении ТП от критической точки Q до $b_1 = b_1^B$ на зависимости $\lambda_3(T)$ наблюдается максимум, который при $b_1^B < b_1 < b_1^T$ исчезает, и ИФП происходит без смягчения моды λ_3 . В этом случае "смягчение" наблюдается для метастабильного решения при убывании температуры, поэтому может проявиться за счет гистерезисных явлений (при достаточно быстром изменении температуры). На зависимости $\lambda_1(T)$ наблюдается положительный скачок при понижении температуры (рис. 4, *c*).

3. Проявление изоструктурного перехода в акустике

Скорость звука разной поляризации является одним из наиболее распространенных индикаторов зависимости модулей упругости C_{ik} от внешних условий, хотя в большинстве случаев позволяет измерять только определенные их линейные комбинации. В частности, описанные особенности в зависимости λ_3 от внешних условий должны проявляться в скорости продольного звука, направленного вдоль выделенной оси, т.е. не нарушающего симметрию тетрагональной фазы. Прямых измерений этой величины в кубических кристаллах, претерпевающих собственно сегнетоэластический переход в тетрагональную фазу, авторам не известно. Измерения скорости продольного звука в зависимости от температуры проводились, например, на калиевых полевых шпатах — ортоклазе и санидине [18,19]. При этом было установлено, что в пределах однофазной области как в ортоклазе, так и в санидине скорость продольного звука вдоль оси b (ось симметрии второго порядка) при повышении температуры сначала снижается, проходит через минимум и затем повышается. В обоих случаях минимум достигается в интервале температур 400–440°С.

Калиевые полевые шпаты имеют низкую (моноклинную) симметрию. Однако, как показано в [10,11], эти кристаллы и все окислы SiO_2 имеют единую кубическую прафазу — структуру, из которой все известные окислы кремния могут быть выведены как ее производные. Эта единая прафаза имеет симметрию O_h^9 , и симметрия ортоклаза и санидина получается при искажении прафазы

за счет двух ПП (e_1, e_2) и одного антисегнетоэлектрического смещения атомов внутри ячейки. Учитывая эти результаты, можно предположить, что причиной немонотонной зависимости скорости звука от температуры в калиевых полевых шпатах является симметрично обусловленный сегнетоэластическим переходом в прафазе ИФП в реальном кристалле.

Как следует из приведенной теории, изоструктурный переход при такой интерпретации является симметрично необходимым. Единая прафаза и единый ПП позволяют понять, почему немонотонность в зависимости скорости звука от температуры в санидине, и в ортоклазе проявляется примерно при одной и той же температуре. Если такая интерпретация зависимости скорости звука от температуры верна, то в этом же интервале температур должно наблюдаться взаимосогласованное изменение параметров решетки (см. 3,4) и факторов Дебая–Валлера.

Список литературы

- [1] К. Aizu. J. Phys. Soc. Jap. **27**, 387 (1969).
- [2] Л. Тестарди, М. Вегер, И. Гольдберг. Сверхпроводящие соединения со структурой β -вольфрама. Мир, М. (1977).
- [3] J.D. Axe, Y. Yamada. Phys. Rev. **B24**, 5, 2567 (1981).
- [4] A. Wold, R.J. Arnott, E. Wipple, J.B. Goodenough. J. Appl. Phys. **34**, 1085 (1963).
- [5] Y. Kino, S. Miyahara. J. Phys. Soc. Jap. **21**, 2732 (1966).
- [6] Е.З. Винтайкин, Д.С. Литвин, В.Д. Удовенко. ФММ **33**, 77 (1972).
- [7] M.A. Carpenter, E.K.H. Salje, A. Graeme-Barber. J. Mineral. **10**, 4, 621 (1998).
- [8] В.П. Сахненко, В.М. Таланов. ФТТ **21**, 8, 2435 (1979); **22**, 3, 785 (1980).
- [9] Ю.М. Гуфан. Письма в ЖЭТФ **61**, 8, 646 (1995); Кристаллография **40**, 2, 203 (1995).
- [10] P. Toledano, V. Dmitriev. Reconstructive Phase Transitions. World Scientific (1996). 397 p.
- [11] В.И. Торгашев. Автореф. докт. дис. Ростов-на-Дону (1998).
- [12] Ю.М. Гуфан, В.П. Дмитриев, С.Б. Рошаль, В.И. Снежков. Фазы Ландау в плотноупакованных структурах. Изд-во РГУ, Ростов-на-Дону (1990), 255 с.
- [13] Е.И. Кутьин, В.Л. Лорман, С.Н. Павлов. УФН **161**, 6, 109 (1991).
- [14] P. Toledano, M.M. T.E. Fejer, V.A. Auld. Phys. Rev. **B27**, 9, 5717 (1983).
- [15] Ю.М. Гуфан. Структурные фазовые переходы. Наука, М. (1982). 304 с.
- [16] Е.С. Ларин. Автореф. дис. Ростов-на-Дону (1984).
- [17] Ю.М. Гуфан, Е.С. Ларин. ДАН СССР **242**, 1311 (1978).
- [18] И.Н. Мощенко, А.Н. Садков, В.К. Яценко, М.И. Новгородова. Изв. вузов. Сев.-Кав. регион. Естеств. науки **4**, 56 (1997).
- [19] Е.С. Ларин, М.И. Новгородова, А.Н. Садков, В.К. Яценко. Изв. вузов. Сев.-Кав. регион. Естеств. науки **3**, 57 (1999).